

# 微分方程组的生态情景定性分析

## 1 模型

$$\begin{aligned}\frac{dN}{dt} &= \frac{aN}{N+e_1} \left(1 - \frac{P_1}{K}\right) P_1 - \frac{cN}{N+e_2} P_2 + k(N_0 - N) \\ \frac{dP_1}{dt} &= \frac{rN}{N+e_1} \left(1 - \frac{P_1}{K}\right) P_1 - \frac{aP_1Z}{P_1+\lambda} + w_2P_2 - (w_1+k+s_1)P_1, \\ \frac{dP_2}{dt} &= \frac{uN}{N+e_2} P_2 - bP_2Z + w_1P_1 - (w_2+s_2)P_2 \\ \frac{dZ}{dt} &= \frac{abP_1}{P_1+\lambda} + dP_2 - \mu\end{aligned}$$

## 2 灭绝平衡点 $(N_0, 0, 0, 0)$

### 2.1 存在性

- 条件：所有生物种群灭绝 ( $P_1 = 0, P_2 = 0, Z = 0$ )。
- 推导：

$$\begin{aligned}\frac{dN}{dt} &= k(N_0 - N), \\ \frac{dP_1}{dt} &= 0, \quad \frac{dP_2}{dt} = 0, \quad \frac{dZ}{dt} = -\mu Z.\end{aligned}$$

当  $P_1 = P_2 = Z = 0$  时，营养盐平衡解为  $N = N_0$ 。

- 结论：灭绝平衡点  $(N_0, 0, 0, 0)$  必然存在。

### 2.2 稳定性

- 雅可比矩阵：

$$J = \begin{bmatrix} -k & -\frac{aN_0}{N_0+e_1} & -\frac{cN_0}{N_0+e_2} & 0 \\ 0 & \frac{rN_0}{N_0+e_1} - (w_1+k+s_1) & w_2 & 0 \\ 0 & w_1 & \frac{uN_0}{N_0+e_2} - (w_2+s_2) & 0 \\ 0 & 0 & 0 & -\mu \end{bmatrix}$$

- 特征值：

- $N$  方向：特征值为  $-k$  (负, 稳定)。
- $Z$  方向：特征值为  $-\mu$  (负, 稳定)。
- $P_1$  方向： $\lambda_1 = \frac{rN_0}{N_0+e_1} - (w_1+k+s_1)$ 。
- $P_2$  方向： $\lambda_2 = \frac{uN_0}{N_0+e_2} - (w_2+s_2)$ 。

- 稳定性条件:

- 若  $\lambda_1 < 0$  且  $\lambda_2 < 0$ , 灭绝平衡点稳定。
- 若  $\lambda_1 > 0$  或  $\lambda_2 > 0$ , 对应方向不稳定。

### 3 单种群存活平衡点

#### 3.1 情景 1: 仅微囊藻单细胞存活 ( $P_1 > 0, P_2 = 0, Z = 0$ )

##### 3.1.1 存在性

- 条件:

$$\frac{rN}{N+e_1} \left(1 - \frac{P_1}{K}\right) = w_1 + k + s_1.$$

- 推导:

$$\begin{aligned} \frac{dN}{dt} &= -\frac{aN}{N+e_1} \left(1 - \frac{P_1}{K}\right) P_1 + k(N_0 - N) = 0, \\ \frac{dP_1}{dt} &= \left[ \frac{rN}{N+e_1} \left(1 - \frac{P_1}{K}\right) - (w_1 + k + s_1) \right] P_1 = 0. \end{aligned}$$

##### 3.1.2 稳定性

- 雅可比矩阵:

$$J = \begin{bmatrix} -k - \frac{ae_1P_1}{(N+e_1)^2} \left(1 - \frac{P_1}{K}\right) & -\frac{aN}{N+e_1} \left(1 - \frac{2P_1}{K}\right) \\ \frac{re_1P_1}{(N+e_1)^2} \left(1 - \frac{P_1}{K}\right) & \frac{rN}{N+e_1} \left(1 - \frac{2P_1}{K}\right) - (w_1 + k + s_1) \end{bmatrix}$$

- 稳定性条件: 雅可比矩阵迹负且行列式正, 说明平衡点是稳定的, 但均为负根, 不具有现实意义。

#### 3.2 情景 2: 仅微囊藻聚集体存活 ( $P_2 > 0, P_1 = 0, Z = 0$ )

##### 3.2.1 存在性

- 条件:

$$\frac{uN}{N+e_2} = w_2 + s_2.$$

- 推导:

$$\begin{aligned} \frac{dN}{dt} &= -\frac{cN}{N+e_2} P_2 + k(N_0 - N) = 0, \\ \frac{dP_2}{dt} &= \left[ \frac{uN}{N+e_2} - (w_2 + s_2) \right] P_2 = 0. \end{aligned}$$

##### 3.2.2 稳定性

- 雅可比矩阵:

$$J = \begin{bmatrix} -k - \frac{ce_2P_2}{(N+e_2)^2} & -\frac{cN}{N+e_2} \\ \frac{ue_2P_2}{(N+e_2)^2} & \frac{uN}{N+e_2} - (w_2 + s_2) \end{bmatrix}$$

- 稳定性条件: 行列式正且迹负, 说明平衡点是稳定的, 但均为负根, 不具有现实意义。

## 4 微囊藻单细胞与聚集体共存 ( $P_1 > 0, P_2 > 0, Z = 0$ )

### 4.1 平衡点存在性

- 令  $Z = 0$ ，方程组简化为：

$$\begin{cases} -\frac{aN}{N+e_1} \left(1 - \frac{P_1}{K}\right) P_1 - \frac{cN}{N+e_2} P_2 + k(N_0 - N) = 0 \\ \frac{rN}{N+e_1} \left(1 - \frac{P_1}{K}\right) P_1 + w_2 P_2 - (w_1 + k + s_1) P_1 = 0 \\ \frac{uN}{N+e_2} P_2 + w_1 P_1 - (w_2 + s_2) P_2 = 0 \end{cases}$$

- 存在性条件：**需数值求解非线性方程组，解析解需假设参数满足：

$$\frac{rN}{N+e_1} > w_1 + k + s_1, \quad \frac{uN}{N+e_2} > w_2 + s_2$$

### 4.2 稳定性分析

雅可比矩阵为三维：

$$J = \begin{bmatrix} \frac{\partial f_N}{\partial N} & \frac{\partial f_N}{\partial P_1} & \frac{\partial f_N}{\partial P_2} \\ \frac{\partial f_{P_1}}{\partial N} & \frac{\partial f_{P_1}}{\partial P_1} & \frac{\partial f_{P_1}}{\partial P_2} \\ \frac{\partial f_{P_2}}{\partial N} & \frac{\partial f_{P_2}}{\partial P_1} & \frac{\partial f_{P_2}}{\partial P_2} \end{bmatrix}$$

其中各偏导数需具体计算。稳定性需通过特征值实部符号判断，通常需数值方法。

数值模拟表明该平衡点是一个渐进稳定的结点，其动态变化如下

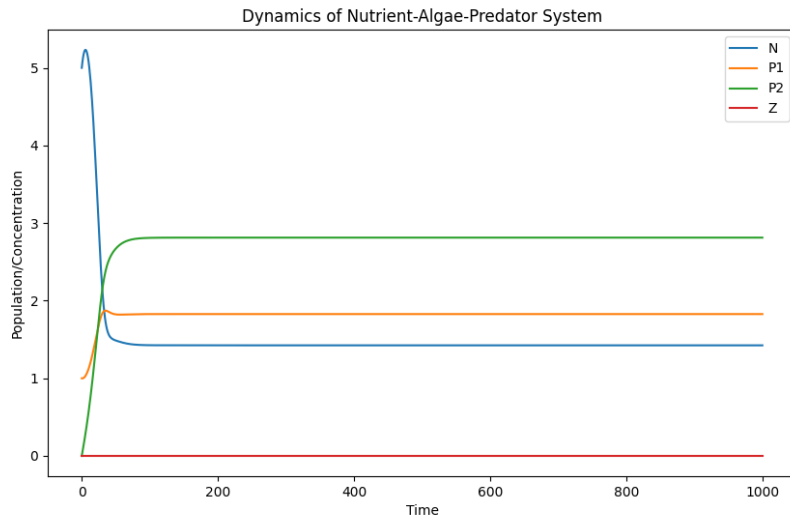


图 1: 无捕食者

发现能够快速达到稳定，并且不同于营养盐充足时，藻类会呈持续增长。由于受到营养盐浓度的限制藻类的数量也会趋于一个稳定的值。

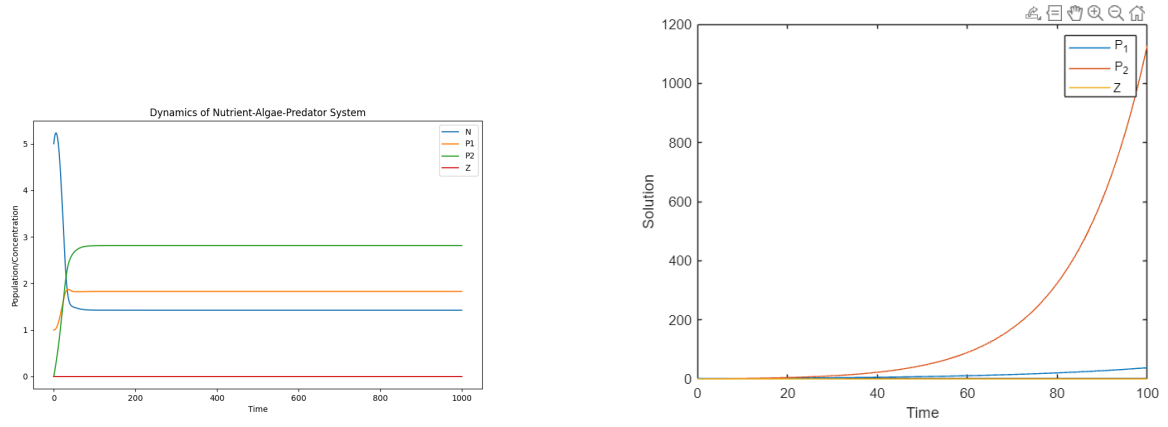


图 2: 系统到达稳定状态的过程 (左: 营养盐输入恒定; 右营养盐充足)

## 5 共存平衡点 ( $P_1 > 0, P_2 > 0, Z > 0$ )

### 5.1 存在性

• 条件:

$$\begin{aligned} -\frac{aN}{N+e_1} \left(1 - \frac{P_1}{K}\right) P_1 - \frac{cN}{N+e_2} P_2 + k(N_0 - N) &= 0, \\ \frac{rN}{N+e_1} \left(1 - \frac{P_1}{K}\right) P_1 - \frac{aP_1Z}{P_1+\lambda_1} + w_2P_2 - (w_1+k+s_1)P_1 &= 0, \\ \frac{uN}{N+e_2} P_2 - bP_2Z + w_1P_1 - (w_2+s_2)P_2 &= 0, \\ \frac{abP_1}{P_1+\lambda_1} + dP_2 - \mu &= 0. \end{aligned}$$

### 5.2 稳定性

四维矩阵需数值计算, 低死亡率  $\mu$  或高营养盐输入可能引发振荡。通过数值模拟进一步研究共存平衡点的稳定性, 模拟结果如下:

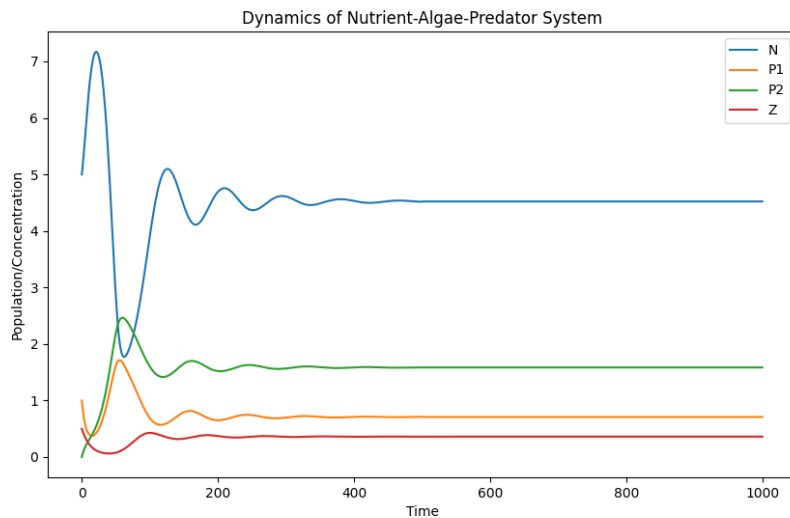


图 3: 营养盐输入恒定时系统的动态变化

结果表明该平衡点为（渐进）稳定的结点。对比营养盐充足时系统的动态变化发现：营养盐充足的情况下，系统能更快地达到稳定的状态。

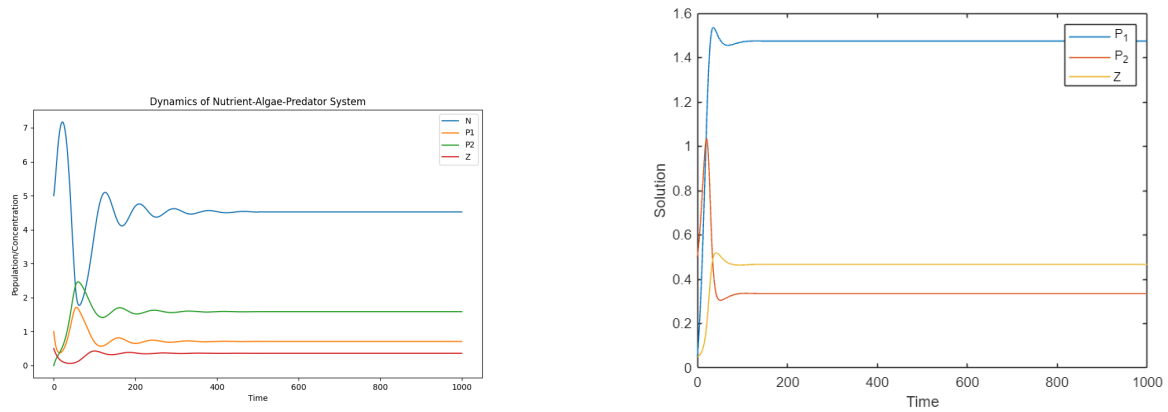


图 4: 系统到达稳定状态的过程 (左: 营养盐输入恒定; 右: 营养盐充足)

进一步研究营养盐输入恒定时系统的恢复力稳定性，在系统达到平衡后的 500 单位时间处，瞬间将浮游动物的数量减少为原来的 0.75、0.5、0.25，比较系统恢复到平衡态的时间及平衡点各物种的数量：

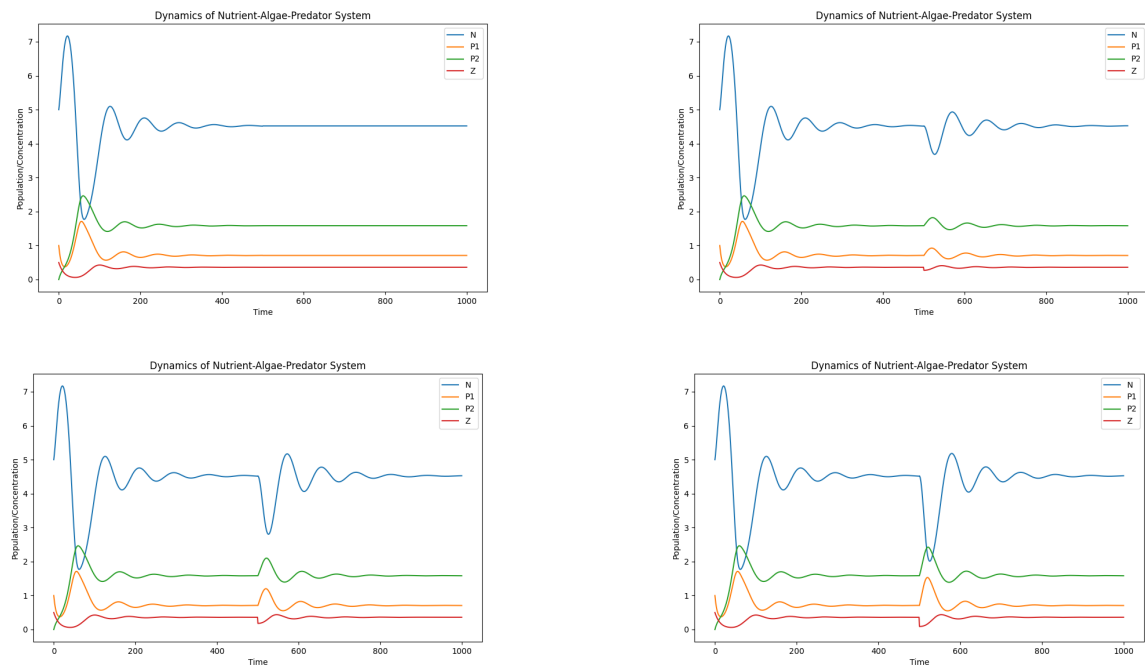


图 5: 系统恢复力稳定性 (左上: 无干扰; 右上: 0.75Z; 左下: 0.5Z; 右下: 0.25Z)

## 6 总结

- 单种群平衡存在性：由生长率与损失率竞争决定（如  $r > w_1 + k + s_1$ ）
- 稳定性：雅可比矩阵的迹与行列式符号决定局部稳定性
- 共存平衡：高维非线性问题，通常依赖数值分析